

## Métodos dos mínimos quadrados

Hernane Braga Pereira - 2014112627

### 1. Exercício 1

Para este exercício é pedido para simular um sistema de primeira ordem com atraso puro de tempo, estimar seu atraso via função de correlação cruzada (FCC) e estimar os parâmetros de ganho e constante de tempo via método dos mínimos quadrados.

A função de transferência escolhida para este exercício pode ser vista na equação 1 e sua resposta ao degrau na figura 1.

$$G(s) = \frac{5}{30s + 1} e^{-50s}$$

Equação 1. Sistema  $G(s)$  utilizado

O sistema apresenta ganho  $K = 5$ , constante de tempo  $\tau = 30$  e atraso puro de tempo  $t_d = 50$ . O tempo de amostragem  $T_s$  estipulado foi dez vezes menor que o valor da constante de tempo da função de transferência, neste caso  $T_s = 3$ .

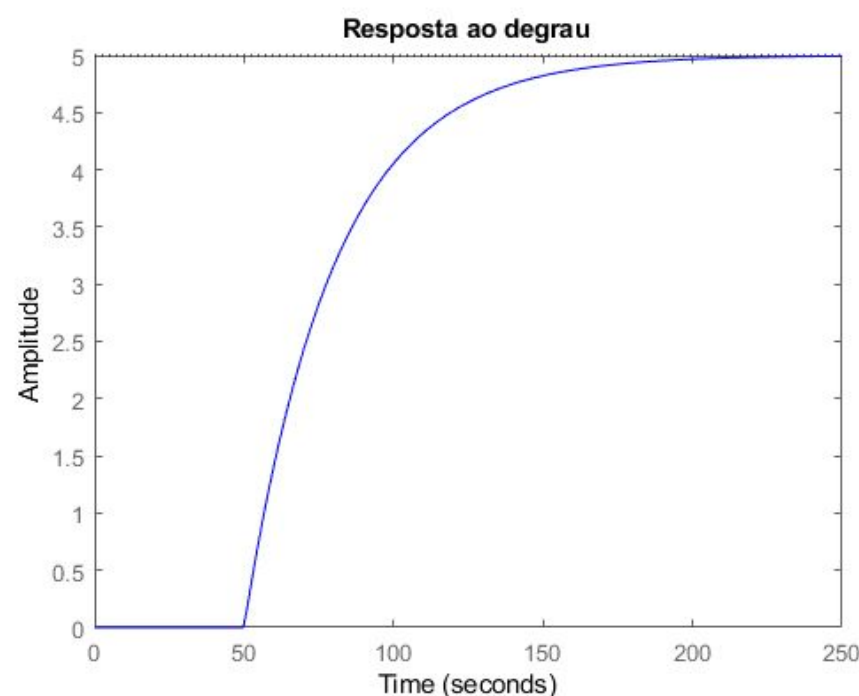


Figura 1. Resposta ao degrau do sistema  $G(s)$

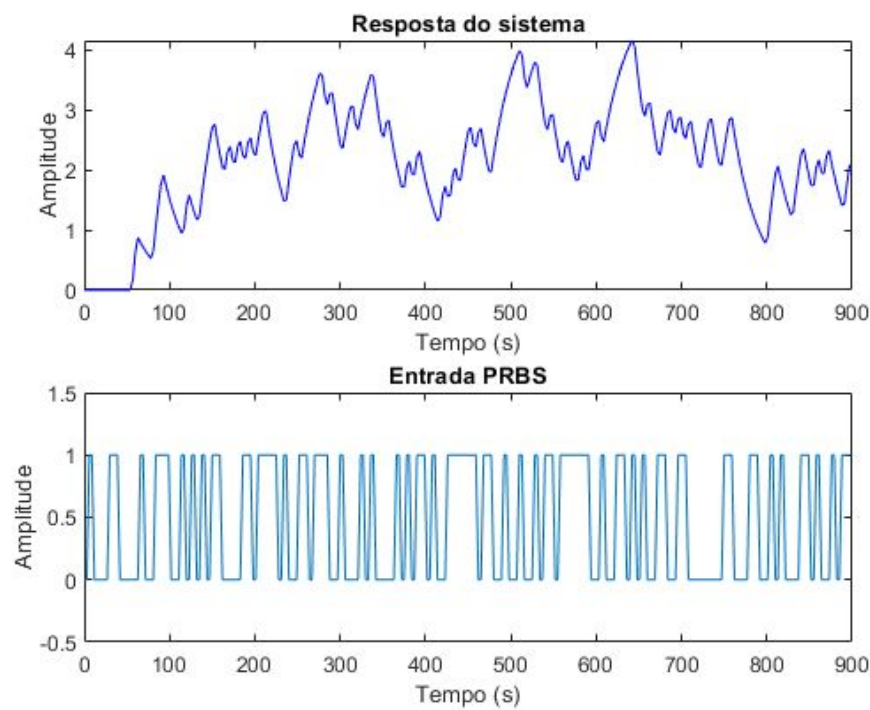
Foi simulado o comportamento da função de transferência para uma entrada PRBS de 300 amostras. Os parâmetros adotados foram  $b = 9$  bits e tempo de amostragem  $m = 2$ . O valor de  $b = 9$  bits foi escolhido, pois assim o período  $T$  do sinal será de:  $2^b - 1 = 512$ , que é suficiente para o caso estudado. O valor de  $m$  foi adotado usando a relação apresentada nas equação 2 e 3. O sinal PRBS gerado e sua resposta são representados na figura 2.

$$Tb = \frac{\tau}{5} = \frac{30}{5} = 6$$

Equação 2.

$$m = \frac{Tb}{T_s} = \frac{6}{3} = 2$$

Equação 3.



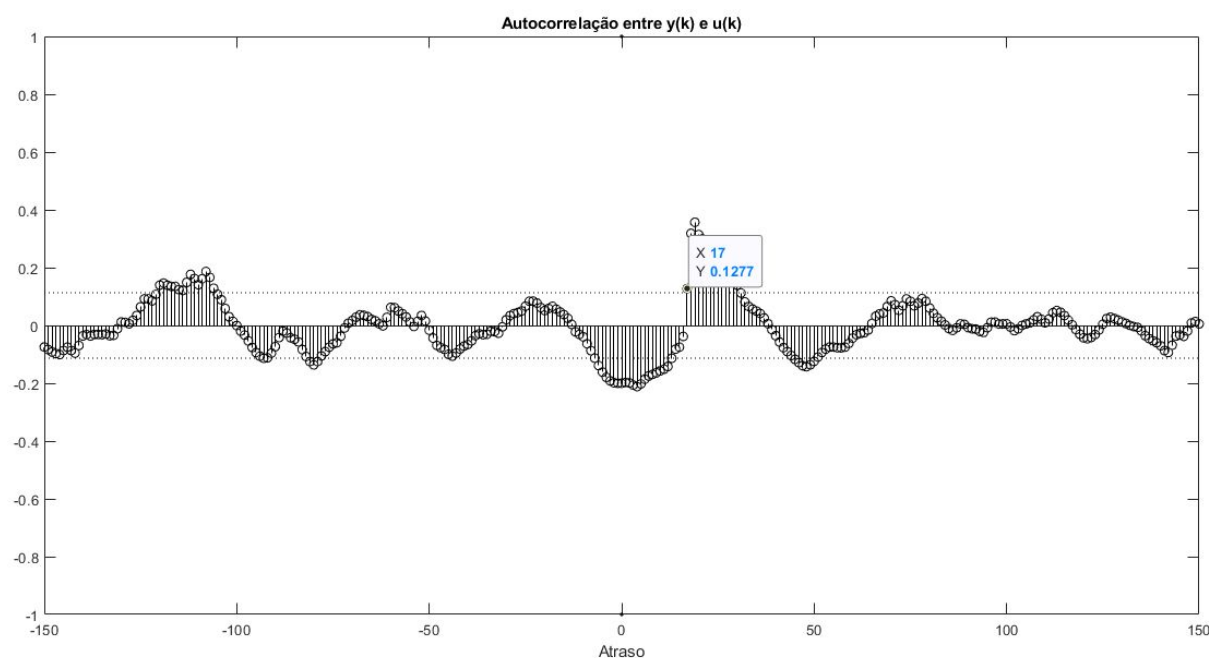
**Figura 2. Resposta do sistema à entrada PRBS gerada**

A partir da FCC é possível estimar o atraso puro de tempo do sistema, usando a resposta do sistema à PRBS ( $y(k)$ ) e o sinal PRBS de entrada. Estima-se que a primeira amostra não nula apareça em:

$$k = \frac{Td}{T_s} + 1$$

**Equação 4. Relação entre FCC e atraso puro de tempo**

A relação se baseia no fato de que do início da resposta transitória do sistema, a FCC entre  $y(k)$  e  $u(k)$  seja nula, visto que  $u(k)$  não apresenta periodicidade no intervalo e a função de transferência é nula até  $t_d$ . O atraso  $t_d$  é dividido por  $T_s$  para que seja considerado o efeito da amostragem. Cabe destacar que a implementação do PRBS utilizada gera um sinal que se inicia em  $t_0 = 1$ , portanto, a estimativa do atraso puro de tempo obtida pela FCC apresenta um viés de 1 unidade de tempo.



**Figura 3. Função de autocorrelação cruzada (FCC) entre os sinais  $y(k)$  e  $u(k)$**

Para  $k = 17$  e usando a aplicando a equação 4, encontra-se um atraso puro de tempo estimado  $\hat{t}_d = 50$ . Os parâmetros de ganho de  $K$  e constante de tempo  $\tau$  foram estipulados utilizando o métodos dos mínimos quadrados e a estimação recursiva de ganho e constante de tempo descrita no exemplo 8.5.1 do livro [1]:

$$y(k) = a_1 y(k-1) + b_1 u(k-1-d)$$

$$a_1 = 1 - \frac{T_s}{\tau} \quad b_1 = \frac{T_s K}{\tau}$$

**Equação 5. Estimação recursiva**

Onde  $d$  é o representa o atraso puro de tempo do sistema. Neste caso o valor de  $d$  será o mesmo que valor de  $k$  encontrado. O método dos mínimos quadrados é então resolvido:

$$\psi = [y_0(k-1) \ u(k-1-d)]^T$$

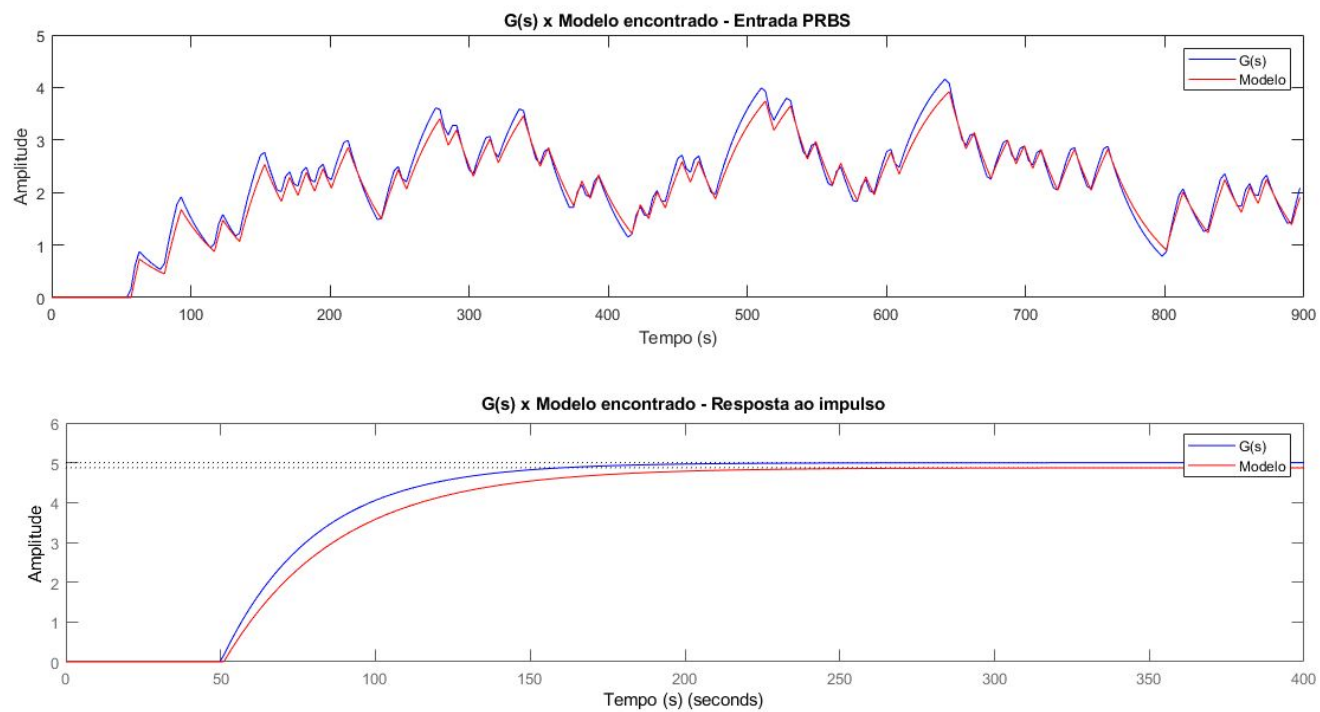
$$\hat{\Theta}_{MQ} = [\Psi^T \Psi]^{-1} \Psi y = [a_1 b_1]^T$$

**Equação 6. Método dos mínimos quadrados**

Para o sinal PRBS da figura 2, obteve-se o resultado de  $\hat{\Theta}_{MQ} = [0.9190 \ 0.3981]$ , onde os valores estimados para o modelo foram  $\hat{\tau} = 37$  e  $\hat{K} = 4.91$ , que são valores razoavelmente próximos de  $\tau = 30$  e  $K = 5$ . O modelo final encontrado foi:

$$G_1(s) = \frac{4.91}{37s + 1} e^{-50s}$$

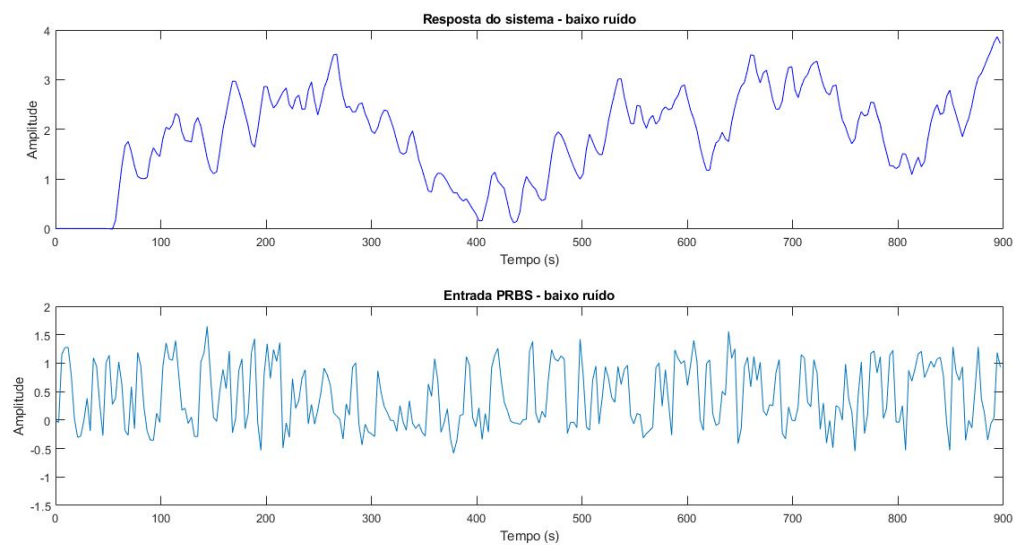
**Equação 7. Modelo estimado**



**Figura 4. Comparação entre o sistema real e o modelo estimado**

## 1.1 Sistema com baixo ruído

O mesmo experimento foi repetido, adicionando-se um baixo ruído na entrada PRBS do sistema. O ruído foi gerado aleatoriamente, multiplicando-se a entrada do sistema por 0.25. O gráfico de entrada e saída do sistema pode ser visto na figura 5.



**Figura 5. Resposta do sistema à entrada PRBS com ruído baixo de 0.25**

Foram utilizados o mesmos parâmetros para o sinal PRBS que o item anterior, assim como o tempo de amostragem  $T_s$ . Para estimar o tempo de atraso do sistema foi utilizada mesma análise da FCC dos sinais  $y(k)$  e  $u(k)$ , como mostrado na figura 6.

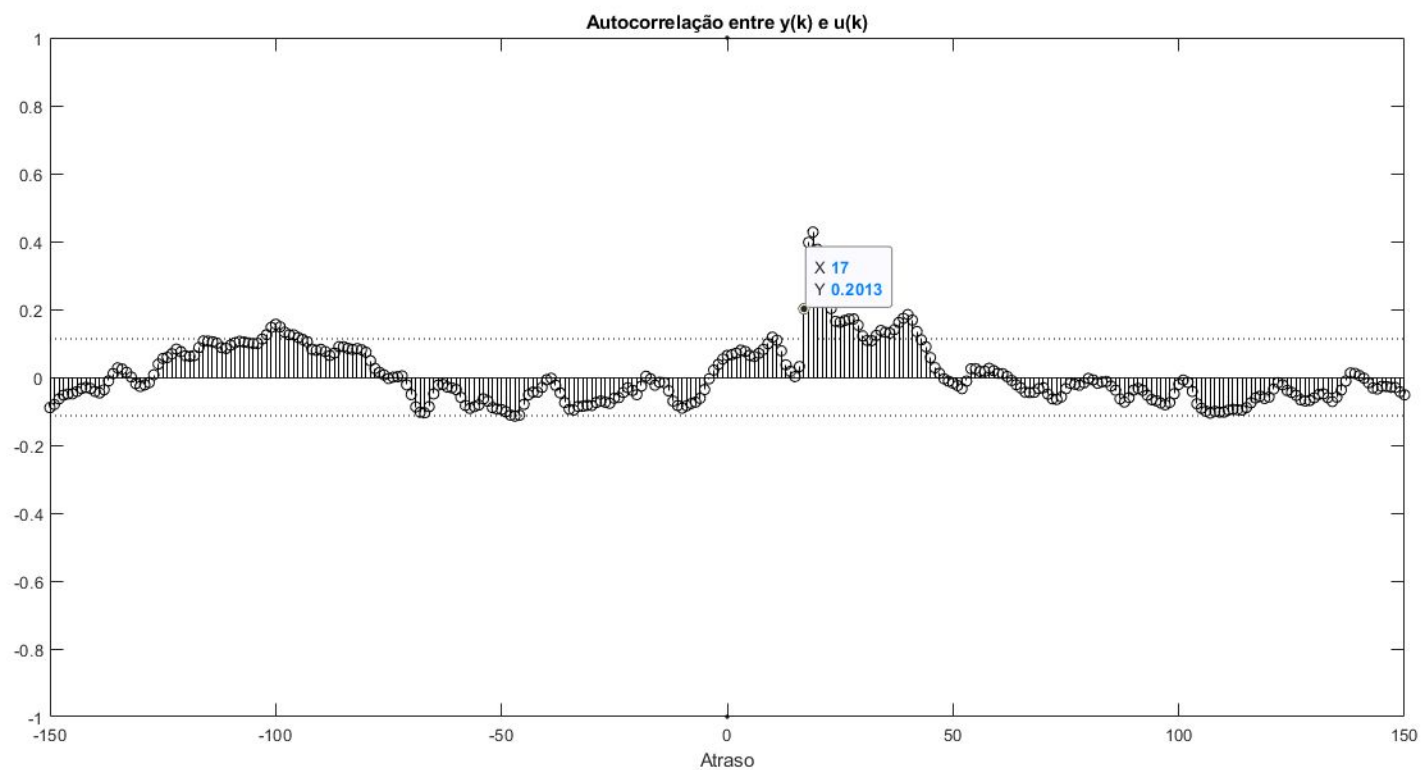


Figura 6. Função de autocorrelação cruzada (FCC) entre os sinais  $y(k)$  e  $u(k)$  com presença de baixo ruído

Como é observado na figura, não houve alteração no valor de  $k$  encontrado, portanto o atraso de tempo estimado se mantém o mesmo  $\hat{t}_d = 50$ .

Ao utilizar o método dos mínimos quadrados, utilizando o sinal PRBS da figura 5, obteve-se o resultado de  $\hat{\Theta}_{MQ} = [0.9205 \ 0.3841]$ , onde os valores estimados para o modelo foram  $\hat{\tau} = 37.7$  e  $\hat{K} = 4.83$ , que ainda são valores razoavelmente próximos reais de  $\tau = 30$  e  $K = 5$ . A comparação entre o sistema real e o modelo obtido, ambos com entrada apresentando ruído, pode ser visto na figura 7.

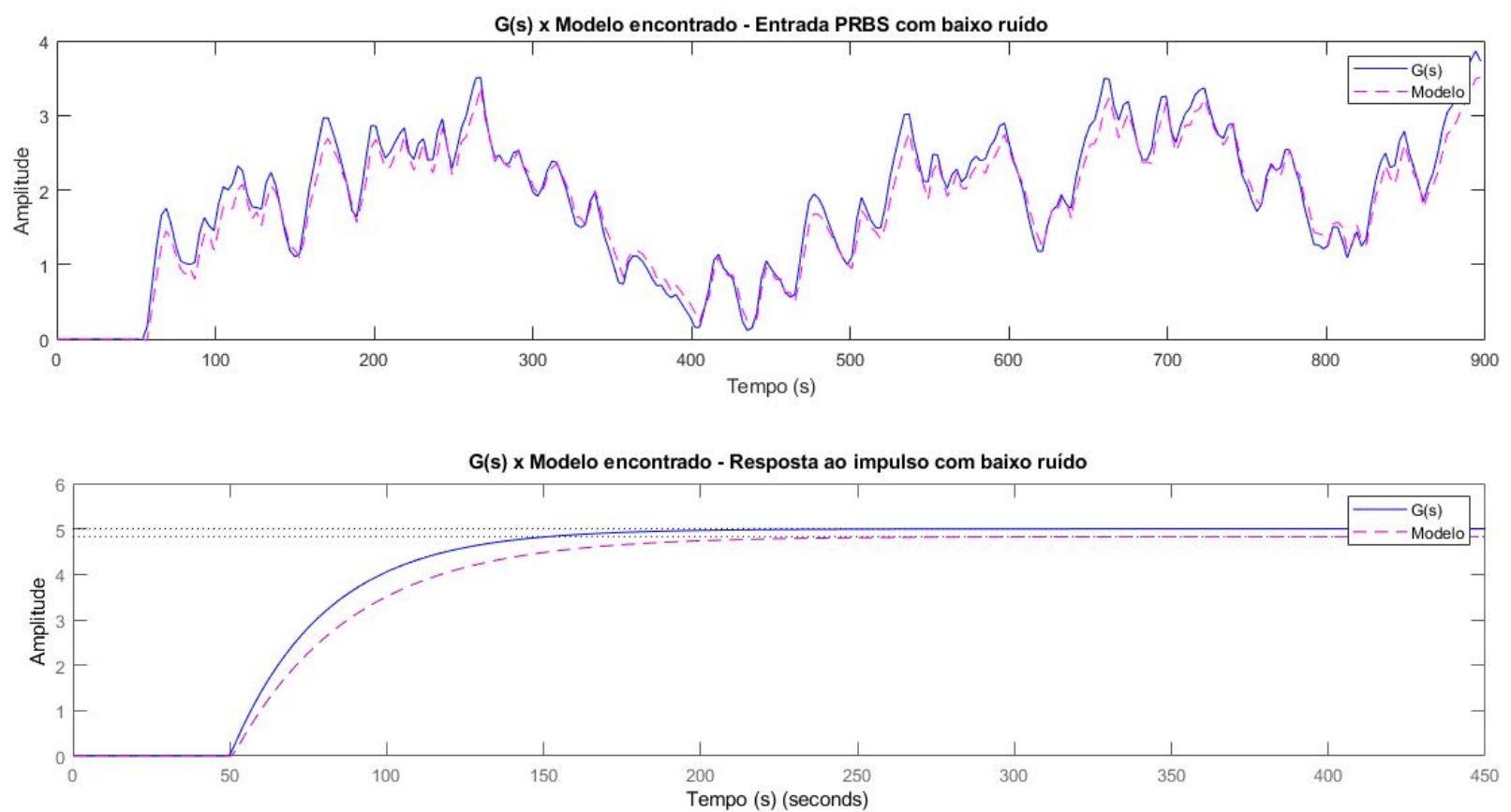
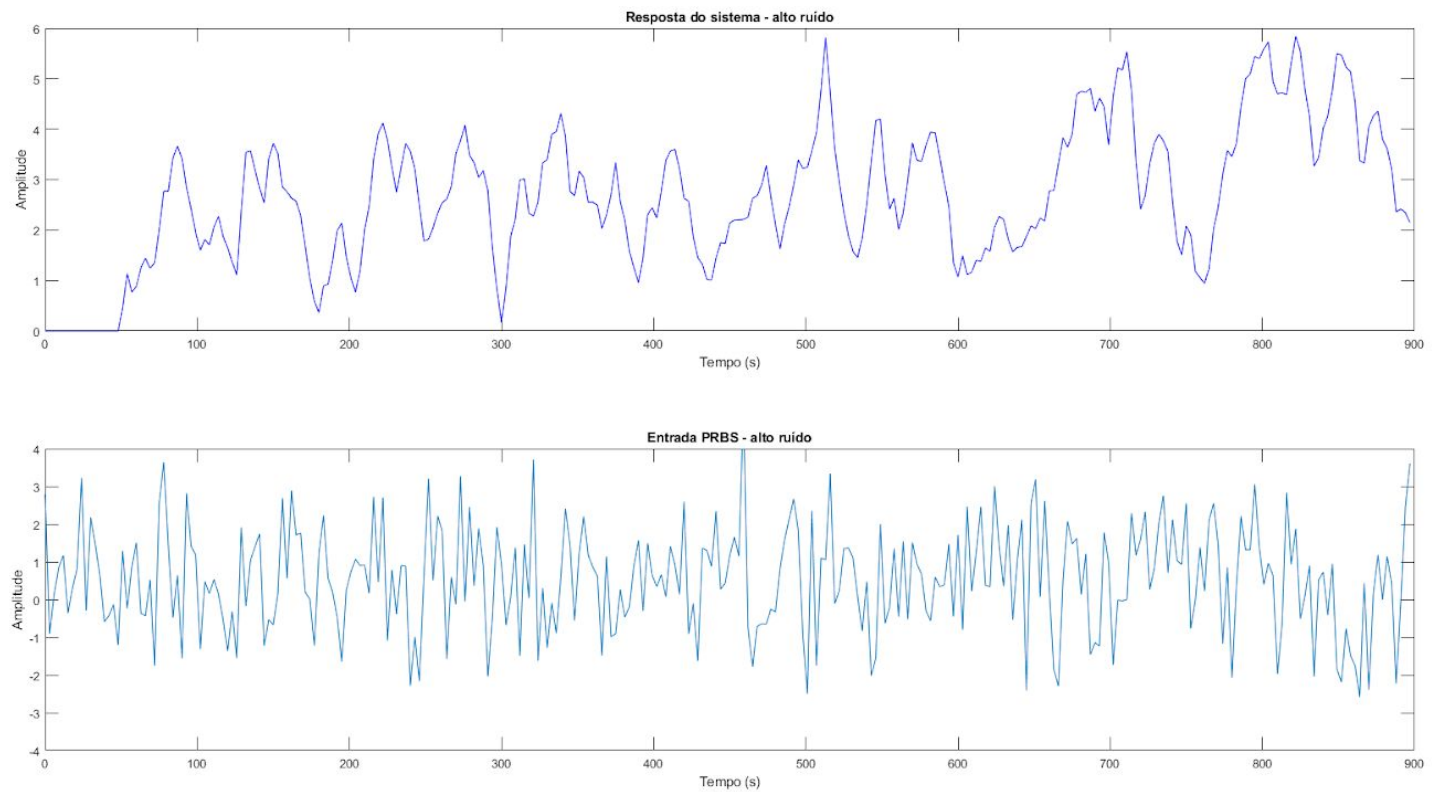


Figura 7. Comparação entre o sistema real e o modelo estimado

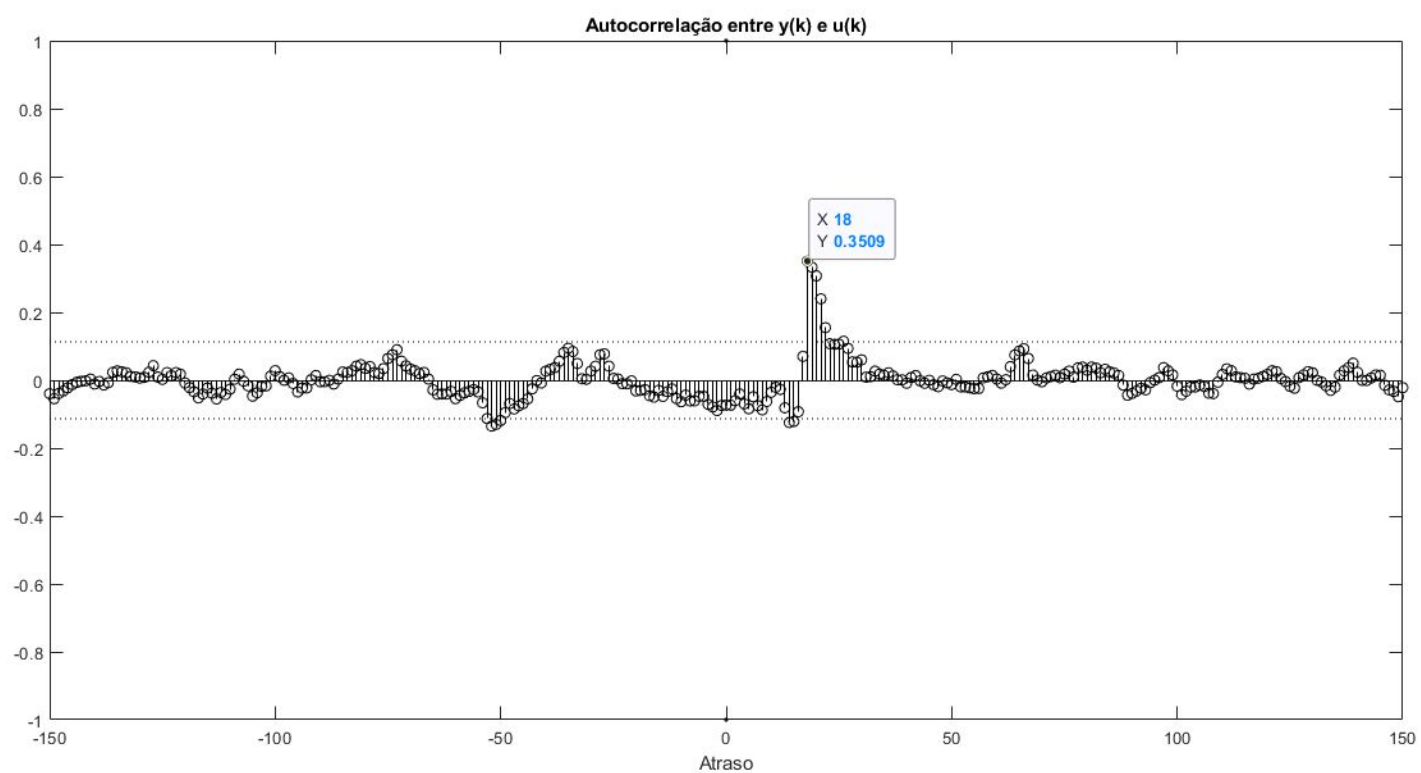
## 1.1 Sistema com alto ruído

O mesmo experimento foi repetido, adicionando-se um alto ruído na entrada PRBS do sistema. O ruído foi gerado aleatoriamente, multiplicando-se a entrada do sistema por 1.5. O gráfico de entrada e saída do sistema pode ser visto na figura 8.



**Figura 8. Resposta do sistema à entrada PRBS com ruído alto de 1.5**

Foram utilizados o mesmos parâmetros para o sinal PRBS que o item anterior, assim como o tempo de amostragem  $T_s$ . Para estimar o tempo de atraso do sistema foi utilizada mesma análise da FCC dos sinais  $y(k)$  e  $u(k)$ , como mostrado na figura 9.



**Figura 9. Função de autocorrelação cruzada (FCC) entre os sinais  $y(k)$  e  $u(k)$  com presença de alto ruído**

Como é observado na figura, houve uma pequena alteração no valor de  $k$  encontrado, passando de 17 para 18. Portanto o atraso de tempo estimado será de  $\hat{t}_d = 54$ .

Ao utilizar o método dos mínimos quadrados, utilizando o sinal PRBS da figura 8, obteve-se o resultado de  $\hat{\Theta}_{MQ} = [0.9316 \ 0.3516]$ , onde os valores estimados para o modelo foram  $\hat{\tau} = 43.8$  e  $\hat{K} = 5.14$ , que apesar de não serem valores tão próximos, quando comparados na constante de tempo de  $\tau = 30$ , percebe-se que o método dos mínimos quadrados apresentou robustez, frente à grande variação do ruído de entrada. A comparação entre o sistema real e o modelo obtido, ambos com entrada apresentando ruído, pode ser visto na figura 10.



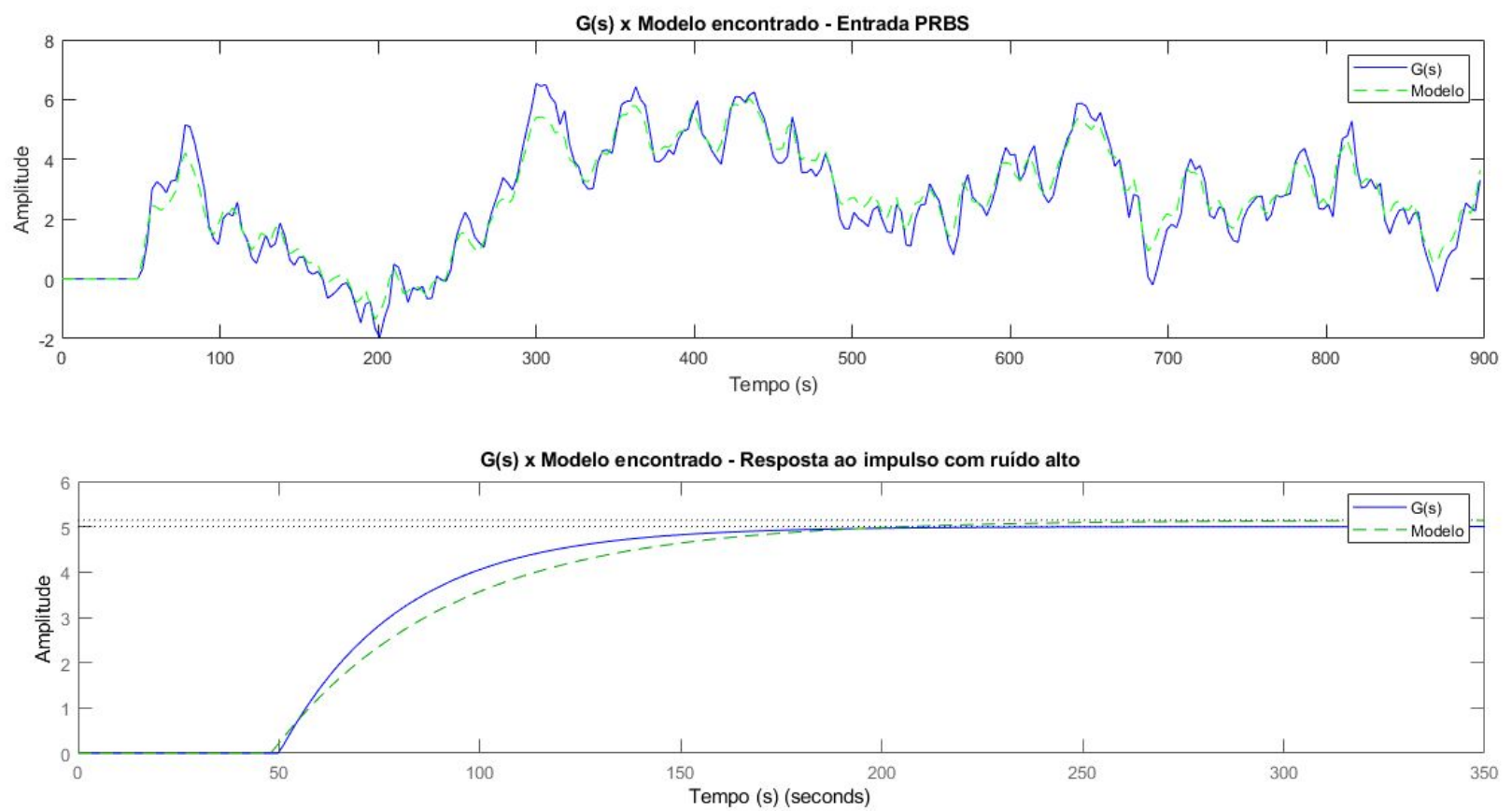


Figura 10. Comparação entre o sistema real e o modelo estimado

## 2. Exercício 5.8 (3º Edição)

Neste exercício deseja-se estimar os parâmetros da função de transferência dos arquivos **bfg33** e **bfg44** do livro texto [1] e comparar os resultados obtidos com os modelos dados.

Primeiramente os dados foram tratados subtraindo os valores no instante de tempo iniciais e normalizados:

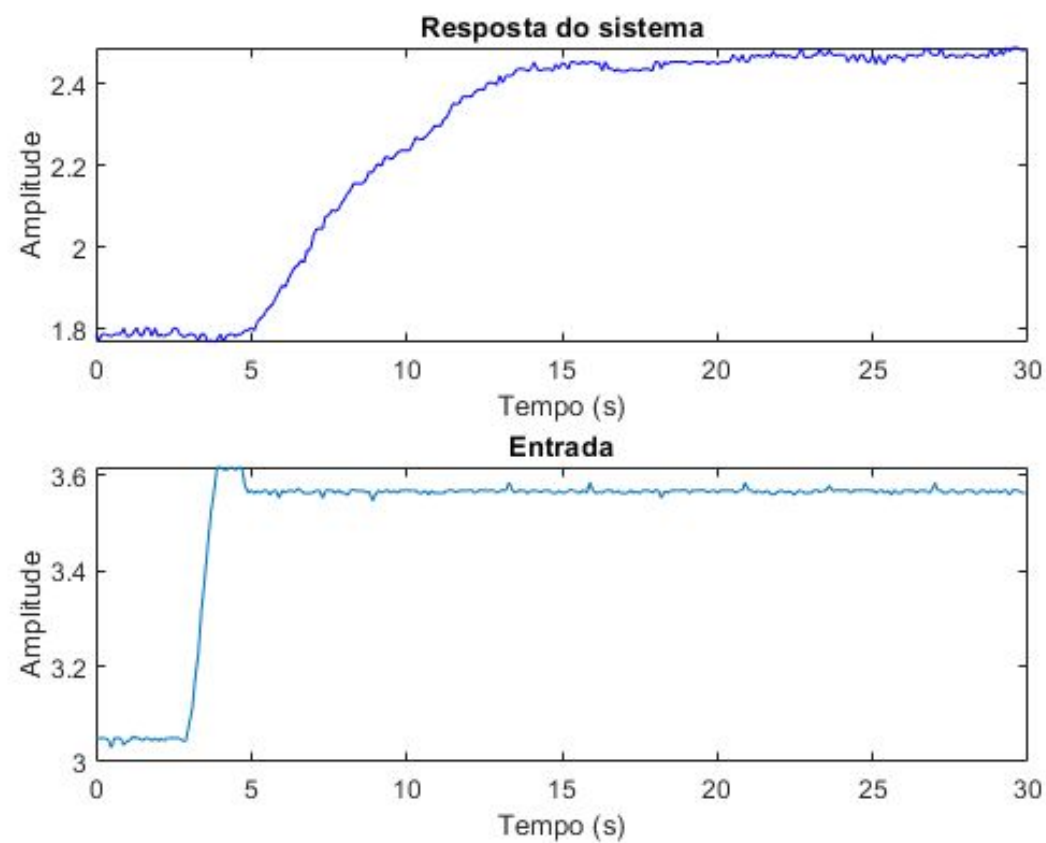


Figura 11. Entrada e saída do arquivo bfg33

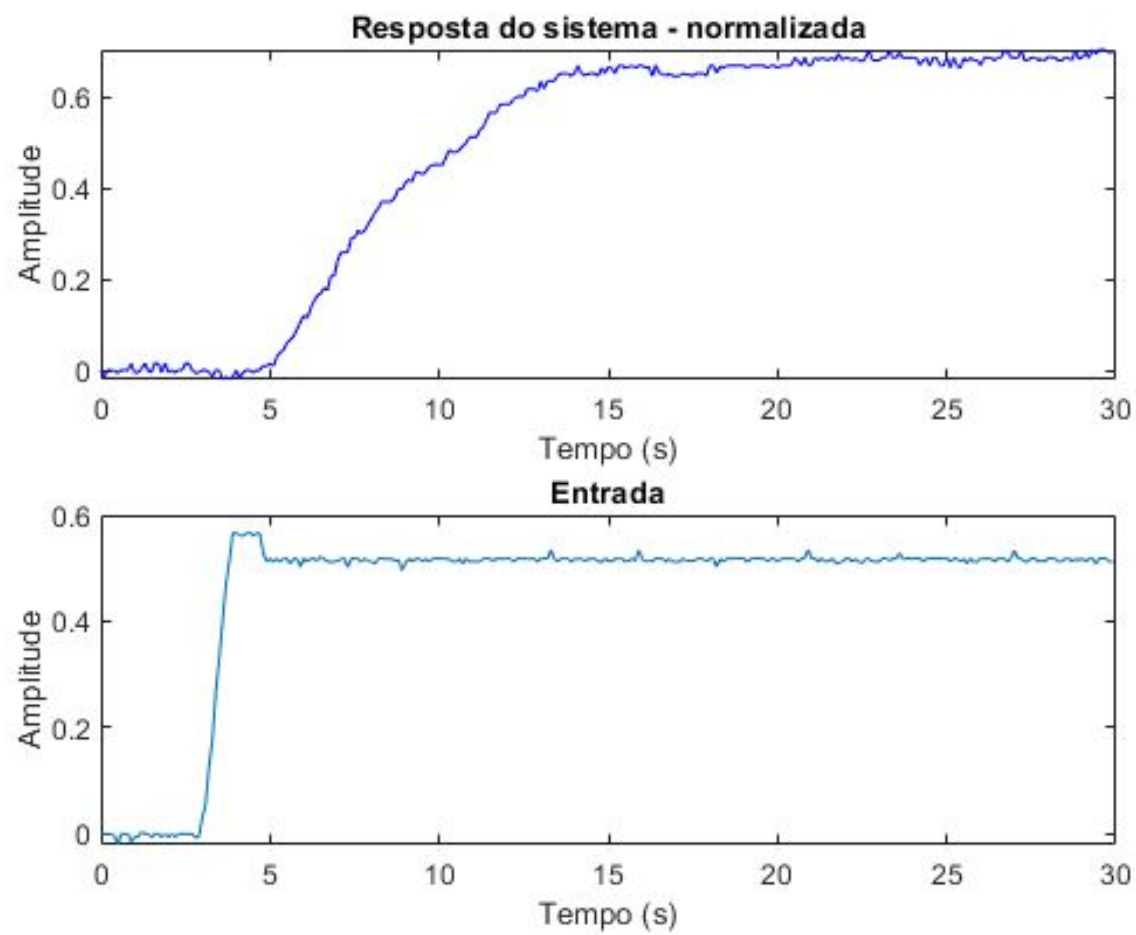


Figura 11. Entrada e saída do arquivo bfg33 normalizada

Feito isso, aplicou-se o método dos mínimos quadrados, usando os mesmos regressores que são apresentados na equação 6 e usando uma distância  $d = 4$ . Os valores encontrados foram  $\hat{\Theta}_{MQ} = [0.9895 \ 0.0075]$ , onde os valores estimados para o modelo foram  $\hat{\tau} = 9.51$  e  $\hat{K} = 0.7$ , porém analisando o comportamento da função, ajustou-se o valor do ganho K para  $\hat{K} = 1.4$ . A função de transferência obtida, assim como resultados de comparação são apresentados nas figuras 12 e 13 abaixo.

$$G(s) = \frac{1,4}{9.512s + 1} e^{-1s}$$

$$H_1(s) = \frac{1.338}{3.586s^2 + 4.459s + 1} e^{-1.9s}$$

Equação 8. Modelo estimado G(s) função de transferência apresentada no exercício H1(s)

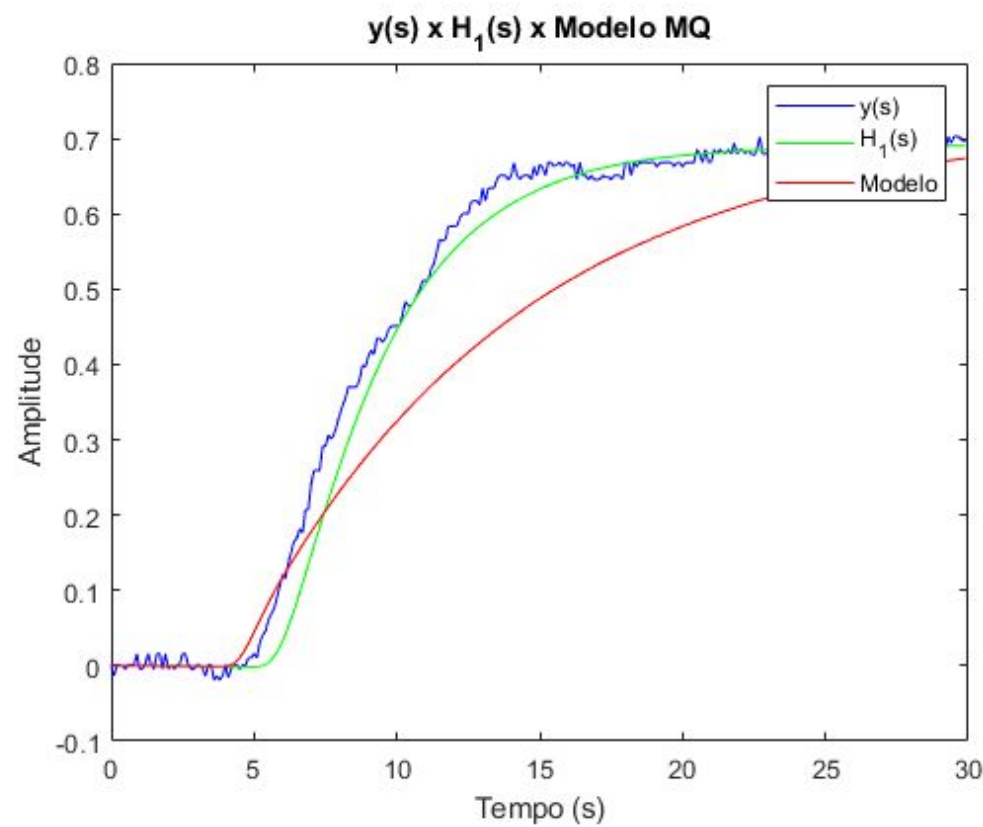


Figura 12. Comparação entre saída do arquivo y(s), H1(s) e modelo obtido

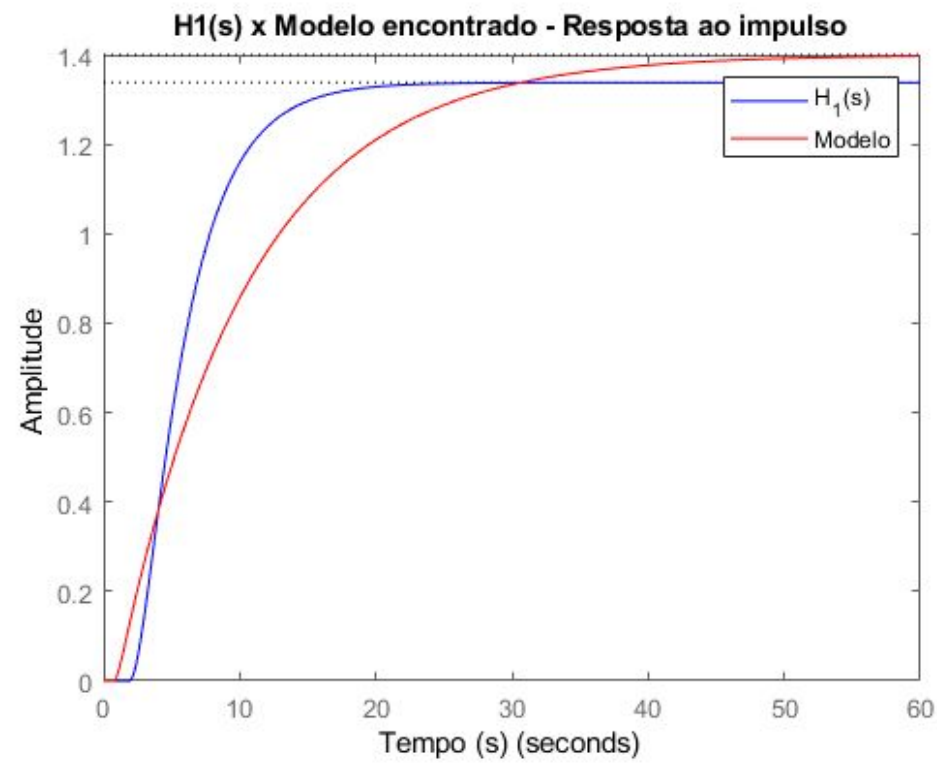


Figura 13. Resposta ao impulso das funções de transferência

O gráfico de entrada e saída do arquivo **bfg44** é apresentado na figura 14 e sua versão normalizada na figura 15.

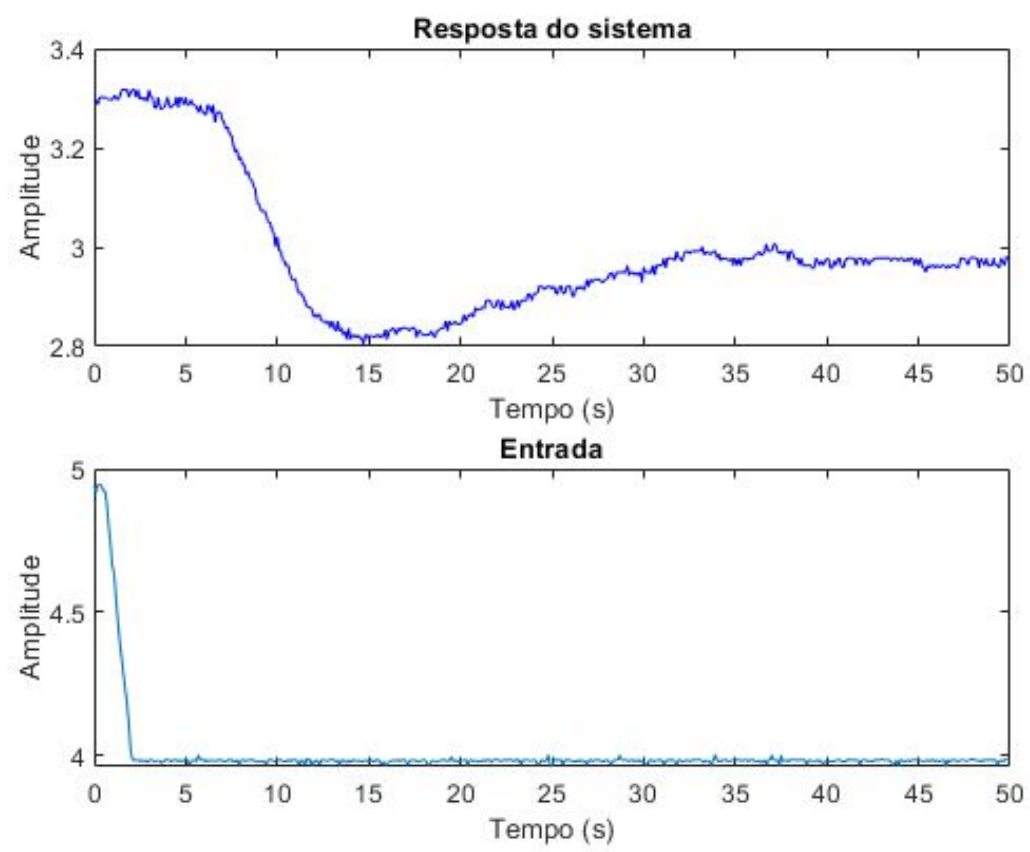


Figura 14. Entrada e saída do arquivo bfg44



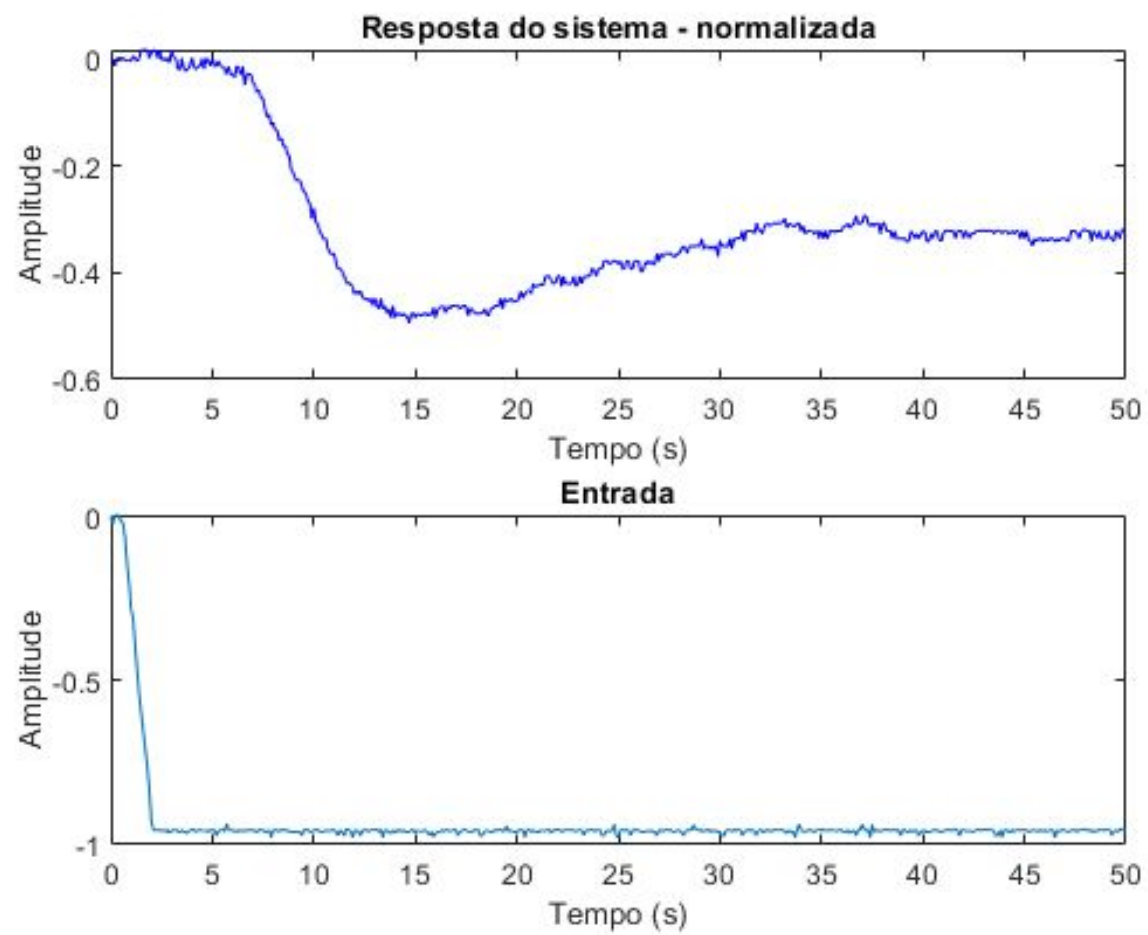


Figura 15. Entrada e saída do arquivo bfg44 normalizada

O mesmo procedimento realizado para o arquivo **bfg33** foi repetido, usando uma distância  $d = 4$ . Os valores encontrados foram  $\hat{\Theta}_{MQ} = [0.9904 \ 0.0070]$ , onde os valores estimados para o modelo foram  $\hat{\tau} = 10.37$  e  $\hat{K} = 0.728$ . A função de transferência obtida, assim como resultados de comparação são apresentados nas figuras 16 e 17 abaixo

$$G(s) = \frac{0.728}{10.37s + 1} e^{-3s}$$

$$H_2(s) = \frac{0.0182}{s^2 + 0.1824s + 0.052} e^{-4.7s}$$

Equação 9. Modelo estimado  $G(s)$  função de transferência apresentada no exercício  $H_2(s)$

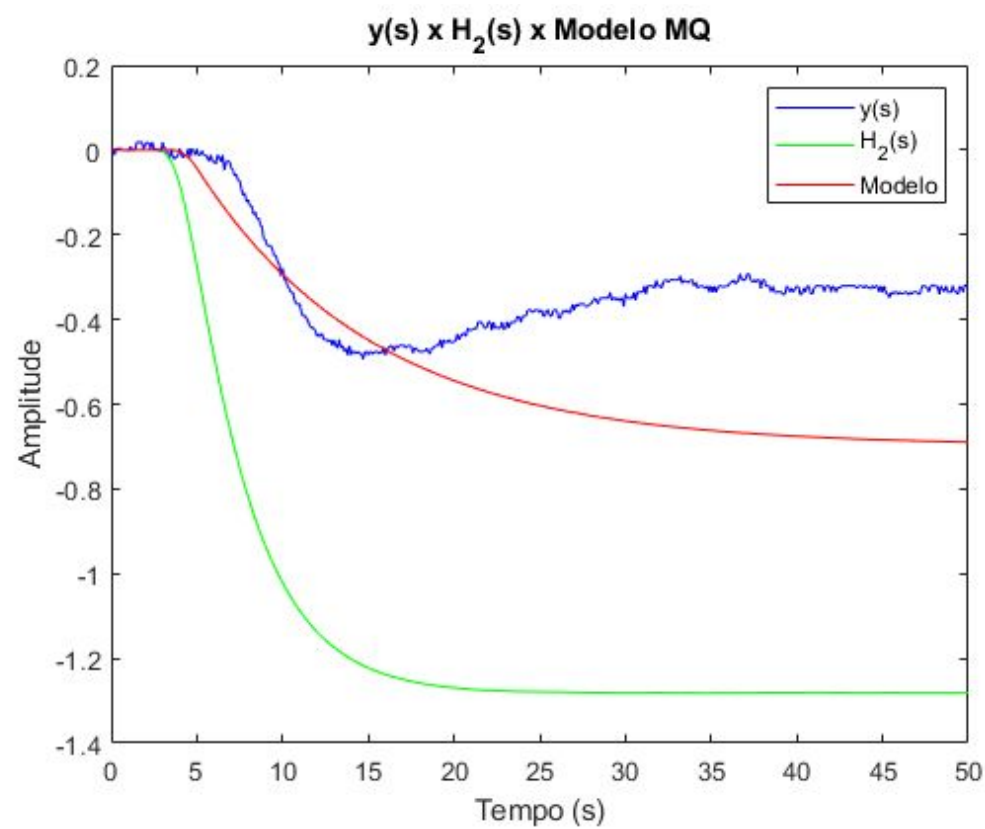


Figura 16. Comparação entre saída do arquivo  $y(s)$ ,  $H_2(s)$  e modelo obtido

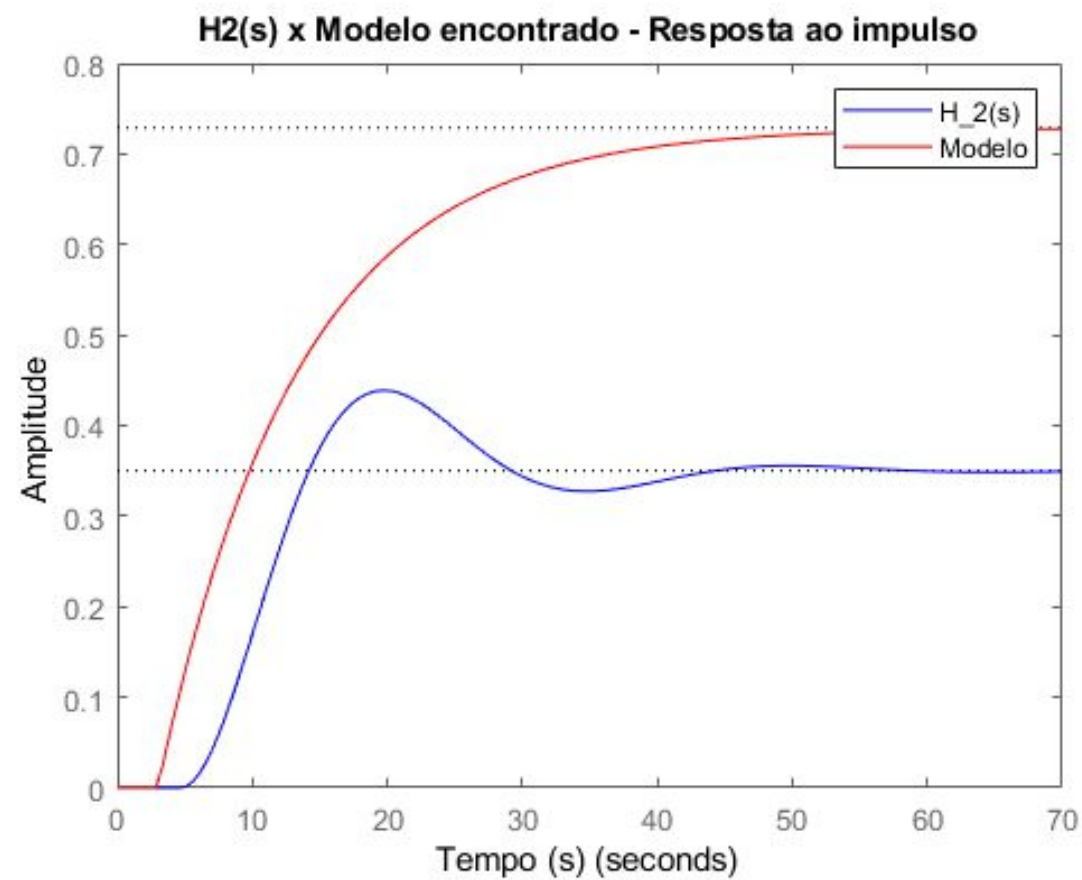


Figura 17. Resposta ao impulso das funções de transferência

Ao realizar este experimento conclui-se que o método dos mínimos quadrados pode ser usado na estimação da função de transferência do processo, porém é preciso que o modelo tenha uma matriz regressora com maior número de colunas para que seu comportamento seja descrito de com maior precisão.

### 3. Referências

- [1] L. A. Aguirre, "Introdução à Identificação de Sistemas". Editora UFMG, 2015.
- [2] Rotinas Matlab utilizadas neste relatório referentes à [1]. Disponíveis em:  
[https://www.researchgate.net/publication/303679484\\_Introducao\\_a\\_Identificacao\\_de\\_Sistemas](https://www.researchgate.net/publication/303679484_Introducao_a_Identificacao_de_Sistemas)